

## واکاوی اثر تنفس خشکی بر برخی پارامترهای فیزیولوژیکی و بیوشیمیایی گیاه بهلیمو *Lippia citriodora* H.B.K.

عبدل محمدی<sup>۱</sup>، حسن ابراهیم‌زاده<sup>۱\*</sup>، جواد هادیان<sup>۲</sup> و مسعود میرمعصومی<sup>۱</sup>

<sup>۱</sup> تهران، دانشگاه تهران، پردیس علوم، دانشکده زیست‌شناسی

<sup>۲</sup> تهران، دانشگاه شهید بهشتی، پژوهشکده گیاهان دارویی

تاریخ دریافت: ۹۲/۱۱/۶ تاریخ پذیرش: ۹۲/۱۱/۱۶

### چکیده

استفاده از گیاهان دارویی برای درمان بیماری‌ها در انسان بیشینه طولانی دارد. تخمین زده شده که بیش از ۱۰٪ از گونه‌های گیاهی استفاده دارویی داشته باشند. گیاهان متأثر از فاکتورهای محیطی مختلفی همانند خشکی می‌باشند. خشکی با برهم زدن توازن اسمزی گیاهان، موجب رشد و عملکرد آنها می‌شود. همچنین باعث القاء گونه‌های واکنشگر اکسیژن می‌شود که به سلول‌های گیاهی آسیب می‌رساند. هدف از اجرای این طرح بررسی تأثیر تنفس خشکی بر پارامترهای بیوشیمیایی و فیزیولوژیکی گونه بهلیمو *Lippia citriodora* از تیره Verbenaceae است. تنفس خشکی با غلط‌های مختلف PEG (پلی اتیلن گلیکول) (٪۰.۵، ٪۰.۱۰، ٪۰.۲۰، ٪۰.۲۵) القاء شد. نتایج بدست آمده نشان داد که FW (وزن تر) و RWC (محتوای نسبی آب) با افزایش تنفس خشکی کاهش معنی داری را نسبت به شاهد نشان دادند. طول ریشه تحت تنفس خشکی تغییر معنی داری را ایجاد نمی‌کند. محتوای رنگیزه‌های گیاه تحت تنفس خشکی در سطوح پایین PEG افزایش معنی داری را نشان می‌دهد، در حالیکه در سطوح بالای آن کاهش معنی داری ایجاد می‌کند. تحت تنفس خشکی محتوای پروتئین، پرولین، MDA (مالون دی آلدید) و آب اکسیژن (H<sub>2</sub>O<sub>2</sub>) افزایش معنی داری را نسبت به شاهد ایجاد می‌کند. به طوری که فعالیت زیمایه‌های پاداکساینده با افزایش تنفس خشکی افزایش می‌یابد. کاهش FW و RWC با تنفس خشکی حساسیت گیاه را به تنفس نشان می‌دهد، از طرفی گیاه با افزایش ترکیباتی مانند پرولین و H<sub>2</sub>O<sub>2</sub> و همچنین افزایش فعالیت زیمایه‌های پاداکساینده به تنفس خشکی پاسخ می‌دهد.

واژه‌های کلیدی: بهلیمو، پروتئین، پرولین، MDA و H<sub>2</sub>O<sub>2</sub>

\* نویسنده مسئول، تلفن: ۰۲۱۶۱۱۳۶۳۷، پست الکترونیکی: ebizadeh@ut.ac.ir

### مقدمه

لوب پهن می‌باشد. (۸). این گیاه بومی امریکای جنوبی است و در کشورهایی مثل پرو، آرژانتین و شیلی گزارش شده است (۲). تنفس آبی یکی از تنفس‌های متداول می‌باشد که رشد و تولید مثل گیاهان را تحت تأثیر قرار می‌دهد و باعث تغییرات متابولیسمی و اکسایشی در آنها می‌شود (۹). پروتئین‌هایی که در گیاهان تحت شرایط تنفسی جمع می‌شوند، ممکن است هنگامی که تنفس بیش از حد باشد، شکلی از نیتروژن را فراهم کنند که مجدداً قابل استفاده باشد و یا ممکن است نقشی را در تنظیم اسمزی بر عهده

گونه بهلیمو با نام علمی *H.B.K. Lippia citriodora* از تیره شاه‌پسند (Verbenaceae) (۱۰)، درختچه‌ای است به ارتفاع ۱/۵ تا ۲ متر دارای ساقه دراز، زاویه دار و منشعب، با برگ‌های ساده، خشن، کامل، فراهم و مجتمع به تعداد ۴-۳ عدد به رنگ سبز روشن. گلهای کوچک و دارای جامی است که از خارج سفید و از داخل آبی مایل به بنفش است. مجموعه گلهای آن ظاهر هرمی شکل در حول یک محور بلند به وجود می‌آورد. کاسه گل لوله‌ای شکل، متنهای به ۴ دندانه باریک و جام گل آن مرکب از

زیستوده (Biomass) کافی جهت شروع تنش به مدت دو ماه با محلول غذایی هوگلند آبیاری گردیدند.

**تیمار تنش با PEG (6000):** تنش خشکی با محلول PEG (6000) با غلظت های ۰٪، ۵٪، ۱۰٪ و ۲۵٪ اعمال شد. تیمارها به مقدار ۱۰۰ میلی لیتر از محلول هوگلند حاوی (PEG) به هر گلدان انجام شد. مدت تنش یک ماه بود و بعد از برداشت، وزن تر ریشه و برگ اندازه گیری شد و به میزان نیم گرم از بافت تر برگ در ۴ میلی لیتر بافر (Tris-HCl) با pH=6.8 با سائیده و همگن حاصل در UV-160، Shimadzu، Tokyo، Japan دور در دقیقه سانتریفیوژ (Shimadzu, Tokyo, Japan) شد و روشنوار را جدا کرده، سپس به منظور انجام آنالیزها در فریزر -۷۰°C نگهداری شد.

**اندازه گیری محتوای پروتئین:** به منظور سنجش غلظت پروتئین موجود در عصاره همگن استخراج شده، از هر محلول روشنوار سه تکرار تهیه شد، بدین صورت که در هر لوله مقدار ۰/۱ میلی لیتر از عصاره را ریخته و به آن ۵ میلی لیتر محلول برادفورد اضافه شد. سپس لوله ها به مدت ۱۰ ثانیه ورتكس شد و پس از گذشت ۲۰ تا ۲۵ دقیقه جذب در ۵۹۵ nm خوانده شد. مقدار پروتئین هر نمونه با استفاده از منحنی استاندارد بر حسب میلی گرم بر گرم وزن تر محاسبه گردید.

**اندازه گیری میزان پراکسیداسیون لیپیدی:** پراکسیداسیون لیپیدی با اندازه گیری محتوای MDA تعیین می‌شود (۱۶). مقدار ۰/۲ گرم از بافت تر برگ را در ۵ میلی لیتر از تری کلرو استیک اسید (TCA) ۰/۱ درصد وزنی - حجمی سائیده شد و بعد در ۱۰۰۰ دور در دقیقه به مدت ۲۰ دقیقه سانتریفیوژ شد. به ۱ میلی لیتر از روشنوار، ۴ میلی لیتر از تیوباربیوتیک اسید(TBA) ۵٪، ۰/۲۰ حاوی (TCA) اضافه کرده، مخلوط واکنش زائد در ۹۵ درجه سانتیگراد به مدت ۳۰ دقیقه حرارت داده شد. بعد از سانتریفیوژ در ۱۰۰۰ دور در دقیقه به مدت ۱۵ دقیقه، جذب روشنار در ۵۳۲ و ۶۰۰ نانومتر توسط دستگاه اسپکتروفوتومتر (UV-

داشته باشد. در پاسخ به تنش ممکن است پروتئین ها به صورت جدید ساخته شوند یا این که به طور نهادی در غلظت های پایین وجود داشته و هنگامی که گیاهان در معرض تنش قرار می گیرند، غلظت آنها افزایش می‌یابد (۱۰). تعدادی از مشتقات مختلف اکسیژن به عنوان ROS یا AOS تعریف می‌شوند. H<sub>2</sub>O<sub>2</sub> پایدارترین ROS می‌باشد. که واکنش پذیری نسبتاً ضعیفی با بیشتر مولکول های آلی داشته و به آسانی از خلال غشاها سلولی متشر می‌شود و به محل هایی با فاصله از محل های تولید اولیه می‌رسد (۱۱). هنگامی که گیاهان در وضعیت تنش قرار می‌گیرند، کاهش محتوای کلروفیل باعث کاهش فعالیت فتوسنتز می‌شود (۱۲). کاهش محتوای کلروفیل نتیجه توان کاهش سنتز مولکول های کلروفیل و افزایش تخریب آن می‌باشد (۱۳). میزان حساسیت گیاه و آسیب وارد شده به غشاء با اندازه گیری محتوای مالون دی آلدھید (MDA) که حاصل قرار گرفتن اسید های چرب غیر اشباع در معرض تنش است، مشخص می‌گردد. افزایش تنش با ایجاد تغییر در اسیدهای چرب غیر اشباع بر ساختار و ایزگی های غشاء سلولی اثر گذاشته، و باعث افزایش ایجاد رادیکال های آزاد و پراکسیداسیون لیپیدها و تروایی غشاء سلولی و در نتیجه تروایی اسمولیت ها در گیاهان حساس می‌شود (۱۴). هدف این طرح بررسی میزان مقاومت به لیمو (citriodora Lippia) به تنش خشکی و همچنین واکاوی تغییرات برخی پارامترهای بیوشیمیایی- فیزیولوژیکی در این گیاه تحت تنش خشکی می‌باشد.

## مواد و روشها

**تهیه نمونه:** قلمه های به لیمو از شرکت گیاهان دارویی خرمان واقع در ۲۶ کیلومتری شهرستان کوهدشت جمع آوری شد و بعد به گلخانه دانشکده علوم انتقال یافت و در گلدانهایی با قطر ۱۸ سانتیمتر و ارتفاع ۲۸ سانتی متر کاشته شدند. نمونه ها برای رشد و حاصل شدن مقدار

گیری و بر حسب میکرومول بر گرم نمونه تر گزارش شد (۱۸).

اندازه گیری محتوای رنگیزه: به منظور اندازه گیری انواع کلروفیل (a، b و کل) و همچنین کاروتینوئید، ۰/۲ گرم بافت تر برگ را در استون ۹۰ درصد سائیده و بعد با استفاده از کاغذ صافی واتمن شماره یک محلول به دست آمده صاف شد و میزان جذب با استفاده از اسپکتروفوتومتر (UV- 160, Shimadzu, Tokyo, Japan) گزارش گردید (۱۹).

اندازه گیری محتوای نسبی آب (RWC): RWC با استفاده از معادله زیر محاسبه شد:  $RWC (\%) = \frac{FW - DW}{(TW - DW)} \times 100$  در این معادله FW وزن تر، DW وزن خشک و TW وزن اشباع می‌باشد. TW با قرار گرفتن نمونه‌ها در آب و تاریکی به مدت ۲۴ ساعت بدست می‌آید، سپس این نمونه‌ها در آون در دمای ۶۰ درجه سانتی گراد به مدت ۴۸ ساعت قرار گرفت و DW اندازه گیری گردید (۲۰).

**فعالیت زیمایه SOD:** فعالیت این زیمایه با قابلیت آن در بازدارندگی واکنش احیایی فتوشیمیایی نیتروبلو ترازاولیوم (NBT) تعیین گردید. محلول واکنش بر اساس سنجش فعالیت زیمایه در محیط محتوای بافر فسفات mM ۵۰ با pH=۷/۵، متیونین mM ۱۳، mM Na-EDTA ۰/۱، نیتروبلو ترازاولیوم (NBT)  $\mu M$  ۷۵، ریبوفالوین  $\mu M$  ۷۵ و مقدار ۱۰۰ میکرولیتر از عصاره می‌باشد. این روش بر اساس تبدیل NBT به فورمازان در حضور نور و تشکیل رنگ می‌باشد. در صورتی که زیمایه سوپراکسید دیسموتاز در محیط وجود داشته باشد، از انجام واکنش مذکور ممانعت گرده و تشکیل و ظهور رنگ را کاهش می‌دهد. پس از ۱۶ دقیقه جذب آنها توسط دستگاه اسپکتروفوتومتر و طول موج ۵۶۰ نانومتر خوانده شد (۴۳).

Photometric (160, Shimadzu, Tokyo, Japan) در مد خوانده شد. برای محاسبه غلظت MDA از ضرب خاموشی معادل  $mM^{-1} Cm^{-1} ۱۵۵$  استفاده شد و در نهایت مقدار مالون دی آلدھید که محصول پراکسیداسیون لیپیدها است براساس میکرومول در گرم وزن تر محاسبه گردید.

اندازه گیری محتوای پرولین: به منظور اندازه گیری محتوای پرولین، نیم گرم از بافت برگ را در ۱۰ میلی لیتر از سولفوسالیسیلیک اسید (۳٪ w/v) سائیده و بعد همگن صاف گردید. به محلول بدست آمده ۲ میلی لیتر اسید نین هیدرین و ۲ میلی لیتر استیک اسید گلاسیال افزوده و به مدت یک ساعت در دمای ۱۰۰ درجه سانتی گراد جوشانده شد. آنگاه به مخلوط واکنش ۴ میلی لیتر تولوئن افزوده و جذب در طول موج ۵۲۰ نانومتر گزارش شد. محتوای پرولین بر حسب میکرومول بر گرم نمونه تر محاسبه می‌شود (۱۷).

اندازه گیری محتوای هیدروژن پراکسید ( $H_2O_2$ ): ۰/۲ گرم از بافت تر برگ درون حمام یخ در ۵ میلی لیتر TCA (W/V٪) سائیده و با دور ۱۲۰۰۰ در دقیقه سانتریفیوژ شد، سپس نیم میلی لیتر از روشنوار را جدا کرده و به آن نیم میلی لیتر بافر پتابسیم فسفات ۱۰ میلی مولار با pH=۷ و یک میلی لیتر پتابسیم یدید یک مولار اضافه شد.

استانداردهای هیدروژن پراکسید: مقدار ۱/۱۳۴ گرم از پودر هیدروژن پراکسید را در محیط نیمه تاریک اتاق سرد به یک بالن حجمی اضافه نموده، آن را در ۶۰ میلی لیتر آب قطر (۰/۱٪ TCA) حل کرده و حجم نهایی به ۱۰۰ میلی لیتر رسانده شد (۱۰۰ میلی مولار). برای تهیه محلولهای استاندارد صفر، ۲، ۴، ۶، ۸، ۱۰، ۲۰، ۴۰، ۵۰، ۶۰، ۸۰ و ۱۰۰ میلی مولار به ترتیب مقداری صفر، ۱، ۲، ۳، ۴، ۵، ۱۰، ۲۰، ۲۵، ۳۰، ۴۰ و ۵۰ میلی لیتر از شاهد را به بالنهای حجمی در محیط سرد و نیمه تاریک اضافه نموده و حجم نهایی با آب قطر (۰/۱٪ TCA) به ۵۰ میلی لیتر رسانیده شد. محتوای پراکسید هیدروژن با منحنی استاندارد اندازه

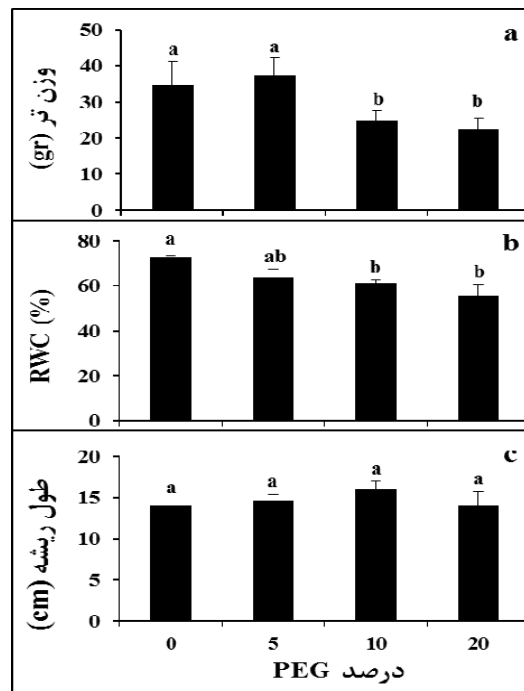
گرفت. مقایسه میانگین داده‌ها در سطح خطای  $5\%$  ( $P<0.05$ ) با آزمون دانکن (DMRT) انجام شد.

## نتایج

**وزن تر (FW):** نتایج حاصل از بررسی اثر تنفس خشکی بر وزن تر گیاه در شکل (a-1) مشاهده می‌شود، به طوری که تحت تنفس خشکی وزن تر گیاه کاهش معنی داری را نسبت به شاهد نشان داد.

**محتوای نسبی آب (RWC):** نتایج اثر تنفس خشکی بر محتوای نسبی آب نشان می‌دهد با افزایش سطوح PEG و به موازات آن افزایش تنفس خشکی کاهش معنی داری در RWC ایجاد شد (شکل ۱(b)).

**طول ریشه:** با افزایش سطوح PEG و به موازات آن افزایش تنفس خشکی تغییر معنی داری در طول ریشه ایجاد نشد (شکل ۱(c)).



شکل ۱- تأثیر تنفس خشکی بر FW، RWC و طول ریشه

**محتوای رنگیزه:** در شکل ۲ تأثیر تنفس خشکی بر محتوای رنگیزه‌های گیاه نشان داده شده است. محتوای کلروفیل  $a$

فعالیت زیما یه پراکسیداز: براساس روش Abeles در یک مخلوط واکنش حاوی  $0.4\text{ میلی لیتر }H_2O_2$  درصد  $0.2\text{ میلی لیتر}$  بنزیدین  $20\text{ میلی مولار}$ ،  $4\text{ میلی لیتر}$  بافر استات  $pH=4.8$  و  $50\text{ میکرولیتر}$  عصاره زیما یه اندازه گیری شده است. تغییرات جذب بوسیله دستگاه اسپکتروفوتومتر Shimadzu مدل kinetic و طول موج  $530\text{ نانومتر}$  خوانده شد. فعالیت پراکسیداز بر حسب واحد زیما یه‌ای در میلی گرم پروتئین محاسبه گردید (۴۴).

**پلی فنل اکسیداز (PPO):** به این منظور مخلوطی از بافر پتاسیم فسفات  $0.2\text{ مولار}$  با  $pH=6.8$   $2/5\text{ میلی لیتر}$  و مقدار  $0.2\text{ میلی لیتر}$  پیروگالال  $0.02\text{ مولار}$  را با  $20\text{ میکرولیتر}$  عصاره زیما یه‌ای به یک لوله آزمایش که در  $40^\circ\text{C}$  درجه سانتی‌گراد قرار داشت افزوده و بلا فاصله Shimadzu و مدل UV-160 در مدل کیتیک و طول موج  $430\text{ نانومتر}$  رسم گردید. در نهایت میزان فعالیت زیما یه بر حسب واحد زیما یه‌ای در میلی گرم پروتئین (Unit  $\text{mg}^{-1} \text{ protein}$ ) محاسبه گردید (۴۹).

**فعالیت آسکوربات پراکسیداز:** به روش Nakano و Asada اندازه گیری شد. در ابتدا  $850\text{ میکرولیتر}$  از آسکوربات پراکسیداز  $0.5\text{ میلی مولار}$  ( محلول در بافر پتاسیم فسفات  $100\text{ میلی مولار}$  به همراه  $150\text{ میکرولیتر}$  پر اکسید هیدروژن  $2\text{ میلی مولار}$  ( محلول در آب مقطر دو بار تقطیر) به یک کووت کوارتز  $1\text{ میلی لیتری}$  اضافه شده و به عنوان شاهد در طول موج  $290\text{ نانومتر}$  بکار رفت. سپس  $20\text{ میکرولیتر}$  از عصاره زیما یه استخراج شده از برگ هر تکرار به مخلوط واکنش فوق اضافه شد و فعالیت آسکوربات پراکسیداز در مدت زمان  $180\text{ ثانیه}$  و بر حسب  $\text{Abs/min}$  ترسیم شد (۵۰). آزمایش‌های این پروژه براساس طرح فاکتوریل در قالب بلوک‌های کاملاً تصادفی با  $10$  تکرار انجام شد. داده‌های حاصل از بررسیها بوسیله نرم افزار آماری SPSS (نسخه ۲۰) مورد تحلیل قرار

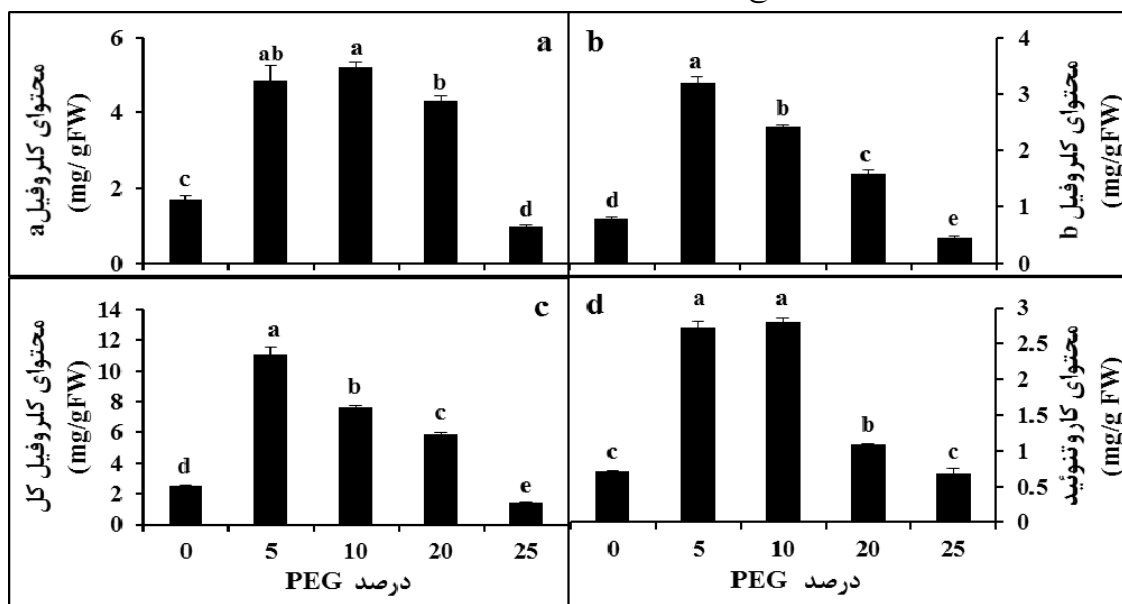
بیشترین مقدار را دارد. پرولین در تمام سطوح خشکی افزایش معنی داری را نسبت به شاهد نشان می‌دهد.

**محتوای MDA:** تغییر محتوای MDA به عنوان شاخص پراکسیداسیون لیپیدی تحت تنش خشکی در شکل (۳-۵) نشان داده شده است. همانطور که در شکل مشاهده می‌شود این محتوا با افزایش شدت تنش به موازات افزایش غلظت PEG اعمال شده نسبت به شاهد در تمام سطوح خشکی افزایش معنی داری را نشان می‌دهد. بیشترین پراکسیداسیون لیپیدی در سطح ۵ درصد PEG مشاهده می‌شود.

کلروفیل a، کلروفیل کل و کاروتینوئید در سطوح پایین PEG افزایش معنی داری را نسبت به شاهد نشان می‌دهند. این در حالیست که در سطح ۲۵ درصد PEG کاهش معنی داری در این رنگیزه‌ها نسبت به شاهد ایجاد شد.

**محتوای پروتئین:** تأثیر تنش خشکی بر محتوای پروتئین گیاه در شکل (۳-۵) آمده است. همانطور که مشاهده می‌شود محتوای پروتئین با افزایش سطوح PEG و درنتیجه آن افزایش شدت خشکی افزایش معنی داری را نشان می‌دهد.

**محتوای پرولین:** محتوای پرولین آزاد به عنوان یک اسماولیت سازگار تحت تنش خشکی در گیاه مورد آزمایش افزایش معنی داری را نشان می‌دهد. همانطور که در شکل (۳-۵) مشاهده می‌شود این میزان در سطح ۲۵ درصد PEG



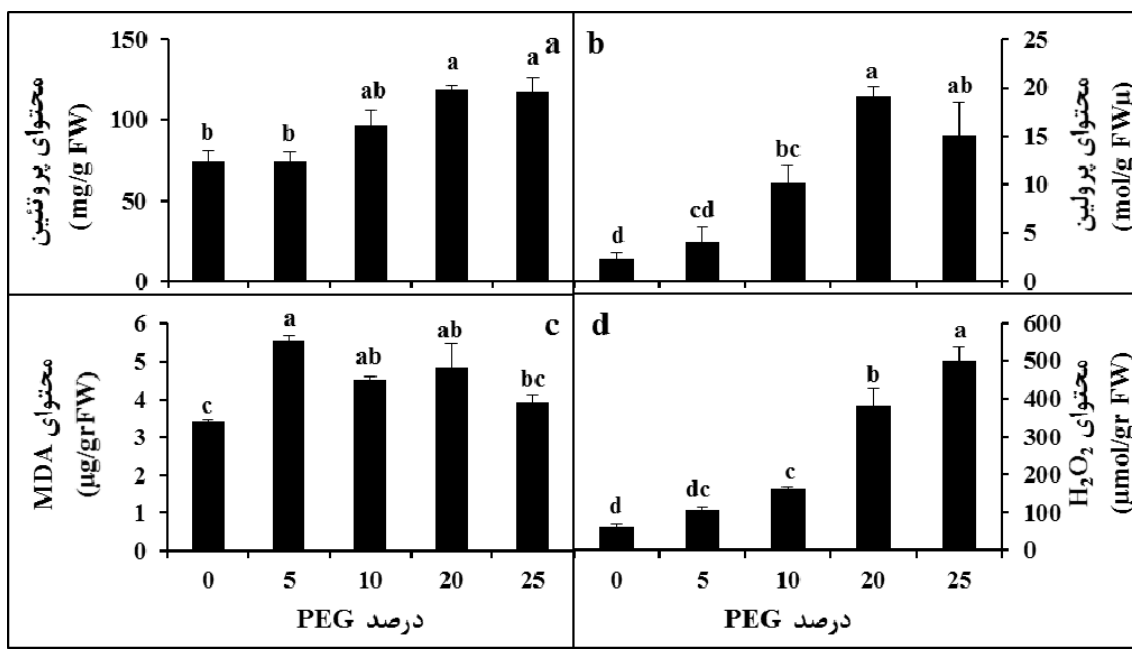
شکل ۲- تأثیر تنش خشکی بر محتوای رنگیزه‌های گیاه بدلمیو

همانطور که مشاهده می‌شود با افزایش تنش خشکی میزان فعالیت این زیمایه نسبت به نمونه کنترل افزایش پیدا کرده است. بیشترین میزان فعالیت این زیمایه در تیمار ۲۰ درصد PEG مشاهده می‌شود. بین میزان فعالیت این زیمایه در تیمار ۵ و ۲۵ درصد تفاوت معنی داری مشاهده نمی‌شود. میزان فعالیت با تنش روند افزایش نشان می‌دهد، این روند از تیمار ۲۰ به بعد روند نزولی پیدا می‌کند.

**محتوای پراکسید هیدروژن ( $H_2O_2$ ):** تأثیر تنش خشکی بر محتوای  $H_2O_2$  در شکل (۳-۵) نشان داده شده است. همانطور که مشاهده می‌شود این محتوا با افزایش غلظت PEG و درنتیجه آن افزایش تنش خشکی در تمام سطوح نسبت به شاهد افزایش معنی داری را نشان می‌دهد.

**زیمایه‌های پاداکساینده:** تغییرات فعالیت زیمایه تحت تنش خشکی در شکل (۳-۵) نشان داده شده است.

فعالیت زیمایه POX تحت تنش خشکی مطابق شکل (۴-۵) تغییر پیدا می‌کند.



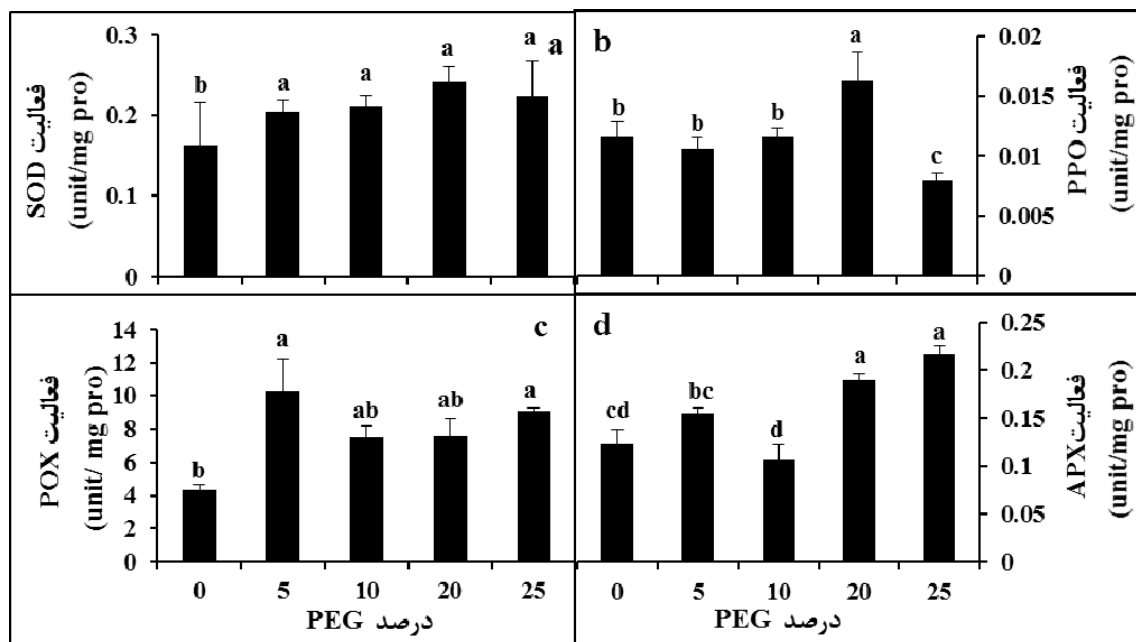
شکل ۳- تأثیر تنش خشکی بر محتوای پروتئین، پرولین،  $\text{H}_2\text{O}_2$  و MDA

وزن تر (FW): کیفیت و کمیت رشد گیاه وابسته به تقسیم سلول است. بزرگ شدن و تمایز توسط تنش کمبود آب متاثر می‌شود (۲۱). این ممکن است دلیلی برای رشد کاهش یافته گیاهان تحت تنش کمبود آب باشد. کاهش MDA تحت شرایط خشکی ممکن است به دلیل سرکوب FW تقسیم سلول و رشد آن در نتیجه فشار تورژسانس پایین باشد. محققان بیان داشته اند که شوری و خشکی بالا باعث محدود شدن ترکیباتی مانند سیتوکینین ها و افزایش ترکیباتی مثل آبسیزیک اسید می‌شود که بر تقسیم سلولی مؤثر می‌باشند (۳).

در پژوهش حاضر وزن تر گیاه در تمام سطوح خشکی نسبت به شاهد کاهش معنی داری نشان می‌دهد، این نتیجه با گزارش بدست آمده مبنی بر این که FW در گندم تحت تنش خشکی کاهش می‌یابد، مطابقت دارد (۱۹). نتایج مشابه در *Abelmoschus esculentum* گزارش شده است (۲۳).

همانطور که مشاهده می‌شود با افزایش تنش خشکی فعالیت این زیمایه نسبت به شاهد در تمام سطوح خشکی افزایش پیدا کرده، به طوری که بیشترین میزان فعالیت مربوط به سطح ۵ درصد PEG می‌باشد. میزان فعالیت در ۱۰ و ۲۰ درصد خشکی با هم برابر بوده و این میزان در سطح ۲۵ درصد خشکی با هم برابر بوده و این میزان در سطح ۴-۵ مجدد افزایش پیدا کرده است. همانطور که در شکل (۴-۵) مشاهده می‌شود فعالیت زیمایه PPO با افزایش تنش خشکی در غلظت ۲۰٪ PEG افزایش معنی دار و در غلظت ۲۵٪ کاهش معنی داری را نسبت به شاهد نشان می‌دهند، در سایر غلظتها PEG تغییر معنی داری را نسبت به شاهد نشان نمی‌دهند. نتایج حاصل از بررسی اثر تنش خشکی بر فعالیت زیمایه APX در شکل (۴-۵) آمده است. همانطور که مشاهده می‌شود تحت تنش خشکی به موازات افزایش تنش میزان فعالیت این زیمایه افزایش پیدا کرده است.

## بحث



شکل ۴- تغییر فعالیت زیمازیه‌های پاداکساینده تحت تنش خشکی

تورژسانس می‌باشد و هر گونه کاهش در فشار تورژسانس که در نتیجه عدم تعادل در محتوای آب گیاه به وجود آید می‌تواند منجر به کاهش رشد در شرایط تنفس خشکی شود (۲۷)، همچنین در تأیید نتایج ما گزارش شده که تحت تنش خشکی کاهش (*Festuca arundinacea*) می‌یابد (۲۸).

**محتوای رنگیزه:** کاهش میزان کلروفیل گونه‌های حساس به تنش می‌تواند نتیجه تخریب ساختار ظرفیت کلروفیلاست، تغییر نسبت چربی - پروتئین رنگیزه‌ها و یا افزایش فعالیت کلروفیلаз باشد (۲۹). همچنین کاش محتوای رنگیزه در اثر تنش خشکی در *Guizotia abyssinica* نیز گزارش شده (۴۲) که در گیاه گندم رقم مقاوم به خشکی در مقایسه با رقم حساس به دلیل حفظ مقادیر بالایی از کلروفیل و کاروتینوئیدها، قدرت نورآمایی بهتری را در شرایط خشکی داراست که این تغییرات نوعی سازگاری در دستگاه نورآمایی می‌باشد (۳۰). در تجربه حاضر محتوای رنگیزه‌ها، بیشترین محتوای رنگیزه‌ها در سطوح ۵ یا ۱۰ درصد خشکی می‌باشد.

طول ریشه: زمانی که گیاه در معرض خشکی قرار می‌گیرد، حتی قبل از هر گونه کاهش در تورژسانس، انعطاف پذیری دیواره سلول‌های در حال رشد برگ‌ها و ساقه‌ها عموماً کم شده و توسعه سلول و در نتیجه رشد اندام‌ها کم می‌شود. بنابراین به نظر می‌رسد دیواره سلولی ریشه به تنش خشکی کمتر حساس بوده، به طوری که ممکن است وقتی که رشد اندام‌های هوایی متوقف شده باشد، رشد ریشه ادامه پیدا کند (۲۴ و ۲۵). در پژوهش حاضر طول ریشه با تنش خشکی کاهش معنی داری را نسبت به شاهد نشان نداده است، برخلاف این نتایج بدست آمده اعلام شده که وزن ریشه *Phaseolus vulgaris* و *P. acutifolius* تحت تنش کمبود آب کاهش یافت (۲۶).

**محتوای نسبی آب (RWC):** در پژوهش اخیر با افزایش تنش خشکی محتوای نسبی آب به صورت معنی داری نسبت به شاهد کاهش پیدا کرده است. اثر خشکی روی توسعه دیواره یاخته‌ای بیشتر است، زیرا لازمه طویل شدن یاخته‌ها انعطاف پذیری دیواره یاخته‌ای تحت فشار

محتوای MDA نسبت به شاهد افزایش پیدا می‌کند. این گزارش با نتایج بدست آمده مبنی بر اینکه افزایش تنش خشکی موجب افزایش MDA در *Citrus aurantifolia* (۳۶) و *Zea maize* (۷) می‌شود، مطابقت دارد. افزایش MDA نشان‌دهنده این است که تحت تنش خشکی ساختار غشاء آسیب دیده و لیپیدهای آن آزاد شده، از طرفی با وجود ترکیبات ROS که تحت تنش زیاد می‌شود این لیپیدها پراکسیده شده و MDA تولید می‌شود. وجود سیستم پاداکساینده توانمند باعث تقلیل ترکیبات ROS شده و به نوعی می‌تواند باعث کاهش پراکسیداسیون لیپیدی شود.

محتوای  $\text{H}_2\text{O}_2$ :  $\text{H}_2\text{O}_2$  به عنوان یک عامل تنظیمی نقش مهمی در فعال سازی ژن‌های رمزگذاری کننده زیماهه‌ها و پروتئین‌هایی بازی می‌کند که در دفاع از تنش اکسیداتیو عمومی درگیر هستند (۳۷).

افزایش میزان هیدروژن پراکسید تحت تنش‌های مختلف افزایش می‌یابد، همچنان که مشاهده شده سطح هیدروژن پراکسید در توت با افزایش شوری (۳۸)، در خیار با تنش سرما (۳۹) و در لوبيا با تیمار باران اسیدی افزایش پیدا کرده است (۴۰). در پژوهش حاضر تحت تنش خشکی محتوای  $\text{H}_2\text{O}_2$  افزایش پیدا می‌کند که این تغییر قبلاً در گزارش شده است (۳۶ و ۴۱).

زیماهه‌ای پاداکساینده: آنیون‌های سوپراکسید به وسیله تنش شوری در سلول تولید می‌شود، زیرا مهمترین تأثیر تنش شوری اختلال در وضعیت آب سلولی است که در نتیجه آن رشد کاهش می‌یابد، همچنین افزایش تنفس در این شرایط سبب تولید این یون‌های مخرب در میتوکندری سلول می‌شود. در چنین شرایطی فعالیت سوپراکسید دیسموتاز به عنوان یک زیماهه از بین برندۀ یون سوپراکسید، مشابه نتایج بدست آمده افزایش می‌یابد (۴۵). فعالیت زیماهه SOD تحت تنش خشکی مطابق شکل (۴-۶) است.

محتوای پروتئین: در طی تنش خشکی بیان برخی ژن‌ها افزایش می‌یابد که آنها را می‌توان به ژن‌های وابسته به متابولیسم اولیه، تنظیم اسمرزی، تغییر ساختمان، تجزیه پروتئین، رفع سمیت و پروتئین‌های LEA تقسیم بندی نمود (۳۱). مطالعه حاضر نشان داد در گیاه به لیمو با افزایش تنش خشکی محتوای پروتئین زیاد شد. در رقم حساس به تنش گندم نیز افزایش محتوای پروتئین کل با اعمال تنش مشاهده شده است (۳۲).

محتوای پرولین: مقاومت به تنش خشکی به توانایی گیاه برای ادامه حیات خود در شرایطی که پتانسیل آب بافت‌های گیاهی کاهش یابد، اطلاق می‌شود. سازوکارهای مقاومت به خشکی اغلب از راه حفظ تورم یاخته‌ای (با تجمع نمک‌های محلول داخل یاخته‌ای) و یا با تحمل خشکی (به وسیله مقاومت پروتوبلاسمی) صورت می‌گیرد. از جمله مهمترین موادی که تجمع آنها در یاخته‌های گیاهی تحت تنش خشکی افزایش می‌یابد می‌توان به آمینو اسید آزاد پرولین اشاره کرد که تحت شرایط تنش، مقدار آن افزایش یافته و در حفظ پتانسیل اسمرزی نقش دارد (۳۶). در مطالعه حاضر مشخص شده که با افزایش تنش خشکی محتوای پرولین گیاه افزایش می‌یابد. این نتیجه با مطالعات انجام شده بر روی گونه‌های *Trigonella* (۳۴)، کلنزا (۴) و گلابی آسیایی (۵) مطابقت دارد. در بررسی‌های انجام شده بر روی گون مشاهده شده که تیمار مانیتول و PEG باعث افزایش محتوای پرولین آزاد دانه رست‌های دو گونه گون گردید (۶).

محتوای MDA: این مطلب شناخته شده است که پراکسیداسیون لیپیدهای غشایی که نتیجه اثرات رادیکال‌های آزاد هستند، نشان‌دهنده آسیب تنش در سطح سلولی می‌باشد. بنابراین سطح MDA حاصل از پراکسیداسیون لیپیدهای غشایی، اغلب به عنوان یک شاخص برای آسیب اکسیداتیو به کار می‌رود (۳۵). در مطالعه حاضر مشخص شده که با افزایش درصد PEG و در نتیجه تنش خشکی

کلروپلاست انجام می‌دهد. این نقش آسکوربات پراکسیداز با نقش کاتالاز و پراکسیداز مشابه است (۵۱).

گزارش‌های قبلی نشان می‌دهد که در دانه رست های برنج فعالیت آسکوربات پراکسیداز در پاسخ به هیدروژن پراکسید ناشی از تنش کمبود آب افزایش می‌یابد (۴۷).

Zlatev و همکاران دریافتند که تحت تنش خشکی در لوبیا که پراکسیداسیون لیپیدی کمتری داشته، فعالیت آسکوربات پراکسیدازی بالاتری نسبت به سایر ارقام نشان داده است (۵۲). زیرا این زیماهه در رویشگری هیدروژن پراکسید دخیل است و از این‌رو در از بین بردن تنش اکسایشی مؤثر است (۵۳). در این پژوهش مشاهده شده که فعالیت این زیماهه با تنش خشکی افزایش پیدا کرده که با مشاهدات قبلی مطابقت دارد (۳۶).

**نتیجه‌گیری:** کاهش در پارامترهایی مانند وزن تر (FW) و محتوای نسبی آب (RWC) نشان‌دهنده حساسیت این گیاه به تنش خشکی می‌باشد. گیاه مورد نظر با افزایش محتوای پروتئین و پرولین به نوعی به تنش پاسخ می‌دهد. افزایش محتوای MDA حساسیت گیاه را نسبت به تنش نشان می-دهد، همچنین افزایش محتوای  $H_2O_2$  نشان دهنده افزایش گونه‌های فعال اکسیژن (ROS) در گیاه و حساسیت آن به خشکی می‌باشد. گیاه به لیمو نسبت به خشکی حساسیت نشان می‌دهد، از طرفی افزایش برخی پارامترها مثلاً پرولین نشان دهنده این است که گیاه سعی در تحمل تنش دارد. در سطوح پایین PEG همانطور که از روند تغییر برخی پارامترها از جمله رنگیزه ها پیداست گیاه متحمل تر است، این تحمل تا سطح حداقل ۲۰ درصد PEG مشاهده می-شود، از این سطح به بعد گیاه حساسیت بیشتری نشان می‌دهد.

۲. زرگری، علی. گیاهان دارویی. چاپ پنجم. مو سسه چاپ و انتشارات دانشگاه تهران. ۱۳۷۱. جلد سوم. صفحات ۷۱۱-۱۳.

(a) افزایش پیدا می‌کند، همچنین مشاهده شده این روند در *Mentha pulegium* افزایش تنش خشکی در برگ و ریشه قبل نیز گزارش شده است (۴۶). در دانه رست های برنج همچنین گزارش شده که تنش کمبود آب فعالیت تمام زیماهه های جاروب کننده اکسیژن فعال را افزایش می‌دهد (۴۷). با توجه به نقش پراکسیداز در سیستم پاداکسایشی گیاه، افزایش فعالیت آن در تنش قابل پیش‌بینی است. اما کاهش فعالیت این زیماهه در برخی غلطت ها می‌تواند به دلیل تجمع بیش از حد رادیکال های آزاد اکسیژن و رادیکال های هیدروکسیل بوده که باعث جلوگیری از فعالیت این زیماهه می‌شود (۴۸). در دانه رست های برنج تحت تنش کمبود آب، افزایش فعالیت پراکسیداز که همراه با افزایش فعالیت کاتالاز است، نشان دهنده انتشار هیدروژن پراکسید از کلروپلاست ها می‌باشد (۴۷). پلی فنل اکسیدازها از جمله اکسیداز های شناخته شده ای هستند که نقش فیزیولوژیکی آنها در گیاهان هنوز به خوبی شناخته نشده است و این زیماهه ها در زیست‌آمائی دیواره سلولی، مقابله با بیماری ها و شرایط تنفسی فعال هستند. نتایج پژوهش حاضر در گیاه به لیمو نشان می‌دهد که با افزایش تنش خشکی در نمونه هایی که تحت تنش خشکی بوده اند تا حد خاصی از خشکی فعالیت این زیماهه نسبت به شاهد افزایش پیدا می‌کند و از این حد به بعد کاهش نشان می‌دهد، که با نتایج بدست آمده در گیاه *Mentha pulegium* مطابقت دارد (۴۶). آسکوربات پراکسیداز همانند پراکسیداز در حذف پراکسید هیدروژن دخیل می-باشد. این زیماهه سلول های گیاهی را در مقابل آسیب های اکسایشی و اکسیداسیون نوری حفاظت می‌نماید. آسکوربات پراکسیداز این عمل را با واسطه آسکوربات و از طریق جاروب کردن هیدروژن پراکسید در سیتوپلاسم و

## منابع

- ظرفیان، ولی ا...، فرهنگ اسامی گیاهان ایران. فرهنگ معاصر، ۱۳۷۵، صفحه ۳۲۵.

۶. شاهقلی، کبری (۱۳۸۵). بررسی اثر شوری و خشکی بر فعالیت برخی آنزیم ها در دانه رست های دو گونه گون. پایان نامه کارشناسی ارشد. دانشکده زیست‌شناسی. دانشکده علوم. دانشگاه تهران.
۷. دولت آبادیان، آریا، مدرس ثانوی، سید علی محمد، شریفی، مظفر، (۱۳۸۸). اثر تنفس کم آبی و محلول پاشی اسید آسکوربیک بر میزان فعالیت آنزیم های آنتی اکسیدان و برخی تغییرات بیوشیمیابی در برگ ذرت دانه ای (*Zea maize* L.). مجله زیست‌شناسی ایران، ۲۲ (۳)، صفحات ۴۰۷-۴۲۲.
8. Tutin, T.G., 1981. *Lippia* In: Tutin TG. Flora Europea. Cambridge University Press. Cambridge. Vol. 13. p.123.
9. Kalefetoglu, T, Ekmekci Y, 2005. The effects of drought on plant and tolerance mechanisms (Review). GU J Sci 18(4):723-740.
10. Ashraf, M., Hariss, P.J.C., 2004. Potential biochemical indicator of salinity tolerance in plants. Plant Science, 166: 3-16.
11. Kuzniak, E., Urbanek, H., 2000. The involvement of hydrogen peroxide in plant responses to stresses. Acta Physiologica Plantarum. 22(2): 195-203.
12. Jamil, M., 2007. Salinity reduced growth ps2 photochemistry and chlorophyll content in radish. Scientia Agricola. 64: 111-118.
13. Chen, C., Tao, C, Peng, H, Ding, Y, 2007. Genetic analysis of salt stress responses in Asparagus Bean (*Vigna unguiculata* (L.) ssp. *Sesquipedalis* verde.). Journal of Heredity. 98(7): 655-665.
14. Elkahoui, S, Hernandez, J.e.A, Abdelly, C, Ghrir, R, Limam, F, 2005. Effects of salt on lipid peroxidation and antioxidant enzyme activities of *Catharanthus roseus* suspension cells. Plant Science. 168: 607-613.
15. Bradford, M.M., 1976. A rapid and sensitive method for the quantitation of microgram quantities of protein utilizing the principle of protein-dye binding, Analytical Biochemistry 72: 248-254.
16. Heath, R.L, Packer, L., 1968. Photoperoxidatin in isolated chloroplasts. I. Kinetics and stoichiometry of fatty acid peroxidation, Archives in Biochemistry and Biophysics 125: 189-198.
۳. اصفهان، آرزو (۱۳۸۱). تاثیر شوری بر میزان رشد، املاح محتوای بافت و تولید آنکالولئید در درخت انار. پایان نامه کارشناسی ارشد. دانشکده علوم، دانشگاه تربیت مدرس.
۴. میرزایی، ملیحه، معینی، احمد، قناتی فائزه، (۱۳۹۲). اثر تنفس خشکی بر میزان پرولین و قندهای محلول گیاهچه های کلزا (*Brassica napus*). مجله زیست‌شناسی ایران، جلد ۲۶ (۱)، صفحات ۹۰-۹۸.
۵. جوادی، تیمور، ارزانی، کاظم، ابراهیم زاده، حسن، (۱۳۸۳). بررسی میزان کربوهیدراتهای محلول و پرولین در نه ژنوتیپ گلابس آسیابی (*Pyrus serotina* Rehd.) تحت تنفس خشکی. مجله زیست‌شناسی ایران، جلد ۱۷ (۴).
17. Bates L.S, Waldren R.P, Teare, L.D, 1973. Rapid determination tolerance in cucumber plants. Pakistan Journal of Biological Science 6 (1): 16-22.
18. Velikova, V, Yordanov, I, Edreva, A, 2000. Oxidative stress and some antioxidant systems in acid rain-treated bean plants. Protective role of exogenous polyamines. Plant Sci. 151: 59-66.
19. Lichtenthaler, H, 1987. Chlorophylls and carotenoids, the pigments of the photosynthetic bio membranes. Methods Enzymol 148: 350-382
20. Sairam, R. K, Srivastava, G. C, 2002. Changes in antioxidant activity in subcellular fractions of tolerant and susceptible wheat genotypes in response to long term salt stress. Plant Sci 162: 897-904.
21. Kusaka, M, Lalusin, A. G, Fujimura, T, 2005. The maintenance of growth and turgor in pearl millet (*Pennisetum glaucum* (L.) Leeke) cultivars with different root structures and osmo-regulation under drought stress. Plant Sci 168: 1-14.
22. Rane, J, Maheshwari, M, Nagarajan, S, 2001. Effect of pre anthesis water stress on growth, photosynthesis and yield of six wheat cultivars differing in drought tolerance. Indian J. Plant. - Physiol 6: 53-60.
23. Bhattacharya, R.M, Srinivasa, Roa, N.K, 2005. Influence of pod load on response of okra to water stress. Indian J. Plant Physiol 10: 54-59.
24. Basra, A.S, Basra, R.K, 1997. Mechanism of environmental stress resistance in plants. Harward Academic Publisher.

25. Smith, H, 1990. Signal perception differential expression within multigene families and the molecular basis of phenotypic plasticity. *Plant, Cell and Environment* 13:585-595.
26. Ferrat, I. L, Lovat, V.J, 1999. Relation between relative water content, nitrogen pools, and growth of *Phaseolus vulgaris* and *P.acutifolius* during water deficit crop. *Crop Science* 39:467-474.
27. Farooq, MWA, Kobayashi, N., Fujita, D and Basra, SM, 2009. Plant drought stress: effects, mechanisms and management. *Agron. Sustain Dev* 29:185-212.
28. Jiang, Y., Huang, B, 2002. Protein alternations in tall fescue in response to drought stress and abscisic acid. *Crop Science*. 42: 202-207.
29. Jacoby, B, 1994. Mechanism involved in salt tolerance by plants .In: Pessarakli M. (Ed).Handbook of plant and crop stress. Marcel Dekker Inc. New York.pp:97-123.
30. Loggini, B, Scartazza, A, Brugnoli, E, Navari-Izzo, F. 1999. Antioxidative defense system, pigment composition, and photosynthetic efficiency in two wheat cultivars subjected to drought. *Plant Physiology* 119: 1091.
31. Ingram, J, Bartels, D, 1996. The molecular basis of dehydration tolerance in plant. *Annual Review of Plant Physiology and Plant Molecular Biology* 47:347-403.
32. Ashraf, M, O Leary, J.W, 1999. Changes in soluble proteins in spring wheat stressed with sodium chloride. *Biol. Plant.* 42: 113-117.
33. Taiz, L, Zeiger, E, 2010. *Plant Physiology*, Ed Fifth. In. Sinauer Associates, USA
34. Niknam, V, Razavi, N, Ebrahimzadeh, H, Sharifzadeh, B, 2006. Effect of NaCl on biomass, protein and proline contents, and antioxidant enzymes in seedlings and calli of two *Trigonella* species. *BIOLOGIA PLANTARUM* 50 (4): 591-596.
35. Turkan, I, Bor, M, O' zdemir, F, Koca, H, 2005. Differential responses of lipid peroxidation and antioxidants in the leaves of drought-tolerant *P. acutifolius* Gray and drought-sensitive *P. vulgaris* L. subjected to polyethylene glycol mediated water stress. *Plant Science*. 168: 223-231.
36. Zafari,S., Niknam, V., 2012. Effect of phytoplasma infection on metabolite content and antioxidant enzyme activity in lime (*Citrus aurantifolia*). *Acta Physiol Plant*, 34:561-568.
37. Kuzniak, E, Urbanek, H, 2000. The involvement of hydrogen peroxide in plant responses to stresses. *Acta Physiological Plantarum* 22(2): 195-203.
38. Harinasut, P, Poonsopa, D, Roengmongkol, K, 2003. Salinity effect on antioxidant enzymes in *Mulberry* cultivar. *Science Asia* 29:109-113.
39. Lee, D.H, Lee C.B, 2000. Chilling stress-induced changes of antioxidant enzymes in the leaves of cucumber: in gel enzyme activity assays. *Plant Sci* 159: 75-85.
40. Velikova, V, Yordanov, I, Edreva, A, 2000. Oxidative stress and some antioxidant systems in acid rain-treated bean plants. Protective role of exogenous polyamines. *Plant Sci.*, 151: 59-66.
41. Niknam,V., Torabi, S., 2011. Effects of Iso-osmotic Concentrations of NaCl and Mannitol on some Metabolic Activity in Calluses of Two *Salicornia* species.
42. Ghane, S. G, Lokhande, V. H, 2012. Differential growth, physiological and biochemical responses of niger (*Guizotia abyssinicaCass.*) cultivars to water-deficit (drought) stress. *Acta Physiol Plant* 34:215–225
43. Giannopolitis, C.N, Ries,S.K, 1997, Superoxide dismutase.o.purification and quantitative relationship with water soluble protein in seedlings, *plant physiology*.59:315-318.
44. Abeles, F.B., Biles, C.L. (1991). Characterization of peroxidase in lignifying peach fruit endocarp. *Plant PHysiol.* 95: 269-273.
45. Dehghan,G, Rezazadeh,L, Habibi,G, 2011. Exogenous Ascorbate improves antioxidant defense system and induces salinity tolerance in soybean seedlings. *Acta Biologica Szegediensis*. 55(2):261-264.
46. Niknam,V, Hassanpour, H, 2011. Effects of penconazole and water deficit stress on physiological and antioxidative responses in pennyroyal (*Mentha pulegiumL.*)
47. Srivalli, B, Sharma, G, Khanna-Chopra, R, 2003. Antioxidative defence system in an upland rice cultivar subjected to increasing intensity of water stress followed by recovery. *Physiology Plantarum* 119:503-512.
48. Demiral, T., Turkan, I., 2005. Comparative lipid peroxidation antioxidant defensesystems and

- proline content in roots of two rice cultivars differing in salt tolerance. Environmental and Experimental Botany, 53: 247-257.
49. Raymond, J., Rakariyatham, N., Azanza, JL, 1993 Purification and some properties of polyphenoloxidase from sunflower seeds, J Phytochem 34:927-931.
  50. Asada, K., Takahashi, M. 1987. "Production and scavenging of active oxygen in photosynthesis" In: Eds. Kyle DJ, Osmond CB, Amtzen DJ, PHotoinhibition. Amsterdam: Elsevier, pp. 227-287.
  51. Benavides, M. P., Marconi, P.L., Gallego, S. M., 2000, Relationship between antioxidant system and salt tolerance in Solanum tuberosum. Australian Journal of Plant Physiology 27: 273 -278.
  52. Zlatev, Z. S., Lidon, F.C., Ramalho, J. C., 2006, Comparison of resistance to drought of three bean cultivars. Biologia Plantarum 50:389-394.
  53. Jagtap, V., Bhargava, S. 1995, Variation in the antioxidant metabolism of drought tolerant and drought susceptible varieties sorghum bicolor (L.) Moench. Exposed to high light, low Water and high temperature stress. Journal of Plant Physiology 145: 195-197.

## Study of the effect of drought stress on some biochemical and physiological parameters of *Lippia citriodora* H.B.K.

Mohammadi A.<sup>1</sup>, Ebrahimzadeh H.<sup>1</sup>, Hadian J.<sup>2</sup> and Mirmasoumi M.<sup>1</sup>

<sup>1</sup>Plant Biology Dept. and Center of Excellence in Phylogeny of Living Organisms in Iran, School of Biology, College of Science, University of Tehran, Tehran, I.R. of Iran

<sup>2</sup>Agriculture Dept., Medicinal Plants and Drugs Research Institute, Shahid Beheshti University, Tehran, I.R. of Iran

### Abstract

The application of medicinal plants for the treatment diseases in humans have a long history. It is estimated that more than 10% of the thousands of plant species known to have medicinal uses. Drought causes plants osmotic imbalance and inhibits plant growth and productivity. The aim of this study was to investigate the effect of drought on some biochemical and physiological trait of *Lippia citriodora* genus of verbeneceae family. Drought stress induced by polyethylene glycol (PEG) with different concentrations, 0%, 5%, 10%, 20% and 25%. Result showed that FW (Fresh Weight) and RWC (Relative Water Contents) decreased significantly under drought stress in comparison to control. Root length not show significant changes under drought stress. At low levels of PEG Pigment content under drought stress increased significantly while reduced significantly in high level of PEG. Under drought stress, protein, proline, MDA (malondialdehyd) and hydrogen peroxide ( $H_2O_2$ ) contents have been increased significantly. The antioxidant enzyme activity increased under drought stress when compared with control plants. Under drought stress Decreases in some parameter such as FW and RWC indicative sensitivity of this plant to stress on the other hand it responses to stress by increases in some compounds such as prolin,  $H_2O_2$  and also increases in antioxidant enzyme activity.

**Key words:** *Lippia citriodora*, protein, proline, MDA and  $H_2O_2$